

太行黑山羊 *FGF5* 基因 CDs 区的序列特征 及其表达规律研究

何永新,陈玉林,姜 维,薛 鹏

(西北农林科技大学 动物科技学院,陕西 杨凌 712100)

【摘要】【目的】克隆太行黑山羊成纤维细胞生长因子 5(*FGF5*)基因 CDs 区,并对其序列特征分析和实时荧光定量表达检测。【方法】于 2009 年的 7~10 月份采集太行黑山羊的皮肤组织样品,利用 RT-PCR 方法克隆 *FGF5* 基因 CDs 区序列,并分析其序列特征及在不同生长发育时期的表达情况。【结果】太行黑山羊 *FGF5* 基因 CDs 区全序列长度为 813 bp,编码 270 个氨基酸,其中包含一个 FGF 结构域(87~221 位氨基酸);太行黑山羊 *FGF5* 基因 CDs 区核苷酸序列与牛、马、人、猩猩和小鼠的同源性分别为 98%,92%,90%,90%和 86%,其编码氨基酸序列与牛、马、人、猩猩和小鼠的同源性分别为 98%,91%,91%,91%和 91%;实时荧光定量分析结果表明,在检测的 4 个月份的皮肤组织中,*FGF5* 基因在 9 月份表达量显著高于 7、8、10 月份($P < 0.05$),而 7、8、10 月份之间表达量无显著差异($P > 0.05$)。【结论】太行黑山羊的 *FGF5* 基因编码的氨基酸高度保守;太行黑羊毛囊发育在 7、8 月份处于生长期,9 月份由生长期向退行期过渡,10 月份进入退行期。

【关键词】 太行黑山羊;*FGF5* 基因;RT-PCR;基因序列;氨基酸序列

【中图分类号】 S826;Q636

【文献标识码】 A

【文章编号】 1671-9387(2010)12-0045-06

Study on sequence characterization and expression pattern of Taihang black goat *FGF5* CDs region

HE Yong-xin, CHEN Yu-lin, JIANG Wei, XUE Peng

(College of Animal Science and Technology, Northwest A&F University, Yangling, Shaanxi 712100, China)

Abstract: 【Objective】 The CDs region of Taihang black goat Fibroblast Growth Factor5 (*FGF5*) gene was cloned and the sequence characterization and quantitative analysis were performed. 【Method】 The skin tissue of Taihang black goat was collected in July, August, September and October. The CDs region was cloned from total RNA by RT-PCR. The sequence characterization and expression of follicle growth in different development periods of *FGF5* gene were performed. 【Result】 The CDs region of *FGF5* in Taihang black goat consisted of 813 nucleotides encoding 270 amino acids with a FGF domain from 87—221 amino acids. The nucleotides sequence homology of *FGF5* CDs of Taihang black goat was found to be 98%, 92%, 90%, 90% and 86% compared with that of bovine, horse, human, orangutan and mouse, while the amino acid sequence homology was 98%, 91%, 91%, 91% and 91% respectively; The result of real-time quantitative PCR showed: the *FGF5* was highly expressed in September, significantly higher than July, August and October ($P < 0.05$), but there was no significant difference between these three months ($P > 0.05$). 【Conclusion】 The amino acids coded by the gene *FGF5* are highly conserved in Taihang black goat. The result of real-time quantitative indicated that the follicle development of Taihang black goat is in anagen in July and

* [收稿日期] 2010-05-12

[基金项目] 农业部转基因生物新品种培育科技重大专项“高产绒量转基因绒山羊新品种培育”(2008ZX08008-002)

[作者简介] 何永新(1984—),女,山西吕梁人,在读硕士,主要从事动物遗传资源研究。E-mail: gexin. he1314@163.com

[通信作者] 陈玉林(1964—),男,河南鄢陵人,教授,博士生导师,主要从事动物遗传资源研究。E-mail: myxy11@263.net

August, followed by the transition of anagen and catagen in September, and catagen in October.

Key words: Taihang black goat; *FGF5* gene; RT-PCR; gene sequence; amino acid sequence

绒毛用羊的毛囊发育及被毛品质一直是备受关注的研究热点。长期以来,人们认为哺乳动物的毛囊发育在一年中周期性地经历生长期、退行期和休止期的变化^[1]。有研究表明,许多细胞因子如成纤维细胞生长因子(FGF)、表皮生长因子(EGF)、转化生长因子 α (TGF α)和胰岛素生长因子 I (IGF-I) 等对毛囊周期性的生长发育和被毛形态具有调控作用。一般认为,成纤维细胞生长因子中的 FGF5 可以调节动物毛囊生长期的长短,进而影响毛囊发育的周期性变化和被毛生长^[2]。Hebert 等^[3]和 Sundberg 等^[4]研究发现, *FGF5* 基因部分片段的缺失可引起毛囊发育退行期延迟,进而导致小鼠被毛变长,说明 *FGF5* 基因在毛囊生长发育中具有重要作用。

原位杂交、Northern-blotting、RT-PCR 等技术只可定性检测 mRNA 的表达水平^[5-6],随着实时荧光定量 PCR 技术(Real-time quantitative PCR, real-time Q-PCR)的发展,定量检测 mRNA 的表达水平成为可能。分布于我国太行山周边地区的太行黑山羊属于地方绒山羊品种,被毛为混型毛,毛色黑亮,所产紫绒纤维细长,受人工选择的影响较低,品种特征比较明显。目前,关于该羊 *FGF5* 基因的克隆及表达模式的研究尚未见报道。为此,本试验采用 RT-PCR 技术对太行黑山羊 *FGF5* 基因进行了克隆分析,并利用 real-time Q-PCR 技术对其表达情况进行了检测,以期对太行黑山羊 *FGF5* 基因的功能研究提供基础分子生物学信息,并为毛囊生长周期特点的阐明奠定基础。

表 1 PCR 引物的相关信息

Table 1 Primer sequences and corresponding PCR product size and anneal temperature

引物名称 Primer name	引物序列(5'→3') Primer sequence	产物长度/bp Products length	退火温度/℃ T _m	用途 Purpose
FGF5-1	F: ATGAGCTTGTCTTCCTCCT R: TTAACCAAAGCGAAACTTG	813	55.8	cDNA 克隆 cDNA cloning
FGF5-2	F: AAAAGACTGGGCGGGAGTG R: ATCTTGCCAGAAAGTGGGTAGAG	112	56.0	实时定量 Real-time quantitative
β -actin	F: TGAACCCCAAAGCCAACC R: AGAGGCGTACAGGGACAGCA	107	56.0	实时定量 Real-time quantitative

1.4 *FGF5* 基因 CDs 区的克隆

以皮肤组织总 RNA 为模板,用 TaKaRa PrimeScript™ RT Kit 进行反转录,合成 cDNA 第一链。以制备的 cDNA 为模板,以 FGF5-1 为引物,PCR 扩增 *FGF5* 基因 CDs 区全序列。反应体系为 25 μ L: 10 \times PCR 缓冲液 2.5 μ L, MgCl₂ (25 mmol/L) 1.5 μ L, dNTPs (10 mmol/L) 2.0 μ L,

1 材料与方法

1.1 材料

1.1.1 试验样品 供试太行黑山羊(周岁公羊 3 只)购于山西省晋城市沁水示范牧场,饲养在陕西蒲城县陈庄镇群丰养殖场。分别于 2009-07-29、08-31、09-29、10-29,活体采集 3 只供试公羊体侧部皮肤组织(3 cm²),立即在 DEPC 处理水中剪碎,锡箔纸包裹,迅速投入液氮中,带回实验室置 -80 $^{\circ}$ C 冰箱中保存备用。

1.1.2 主要试剂 Trizol Reagent(美国 Invitrogen 公司)、克隆载体(pGEM-T Vector,西安沃尔森公司)、核酸回收试剂盒(北京百泰克生物技术有限公司)、PrimeScript™ RT reagent Kit (TaKaRa 公司)、Taq DNA 聚合酶(大连宝生物公司)、*E. coli* DH5 α 菌株(TIANGEN 公司)。

1.2 总 RNA 的提取及质量检测

在研钵中研磨样品,采用 Trizol 法^[7]提取皮肤组织总 RNA;电泳检测其完整性,用 NANODROP 1000 检测其纯度和浓度。

1.3 引物的设计与合成

根据 GenBank 已发表的牛 *FGF5* 基因序列(GenBank 号:NM_001078011),利用 Primer 5.0 软件设计 PCR 引物,用以扩增 *FGF5* 基因 CDs 区全长;同时以牛的 β actin 基因序列(GenBank 号:AY141970)为模板,设计羊 β actin 引物。引物由上海生物工程有限公司合成,其相关信息见表 1。

Taq DNA 聚合酶(5 U/ μ L) 0.2 μ L, cDNA 模板(100 ng/ μ L) 1.0 μ L, 上、下游引物(25 pmol/L) 各 2.0 μ L, ddH₂O 13.8 μ L。反应条件为:95 $^{\circ}$ C 5 min;95 $^{\circ}$ C 45 s, 55.8 $^{\circ}$ C 30 s, 72 $^{\circ}$ C 2 min, 34 个循环;72 $^{\circ}$ C 10 min, 4 $^{\circ}$ C 保存。PCR 产物用 10 g/L 琼脂糖凝胶电泳检测,并用琼脂糖 DNA 回收试剂盒纯化回收扩增产物。在 T4 DNA 连接酶的作用下,

将纯化产物与 pGEM-T Vector 于 16 °C 恒温循环水浴系统连接 12 h 以上,将连接产物电击转化至 DH5 α 感受态细胞中,经蓝白斑筛选挑取阳性克隆,置于 3 mL 含氨苄青霉素的 LB 液体培养基中,37 °C 摇菌 12 h;参照 BIOMIGA 质粒提取试剂盒说明提取质粒,将所提质粒送至上海生工生物工程技术服务有限公司利用通用引物 M13 进行双向测序。

1.5 *FGF5* 基因 CDs 区的序列分析

将测序所得 *FGF5* 基因 CDs 区序列用 BLAST (<http://blast.ncbi.nlm.nih.gov/Blast.cgi>),DNA Star 软件、Bio Edit 软件等与其他物种进行核苷酸序列及氨基酸序列同源性分析。

1.6 不同时期皮肤毛囊 *FGF5* 基因 mRNA 表达的实时荧光定量 PCR 检测

以供试羊皮肤组织样品总 RNA 反转录获得的 cDNA 为 PCR 反应模板,进行实时荧光定量 PCR 检测,每只羊为一个重复,共设 3 个重复。PCR 引物为 *FGF5*-2,反应体系为 20 μ L,其中 TaKaRa SYBR 2X premix Ex *Taq* 酶 10 μ L,cDNA 模板 2 μ L,上、下游引物各 0.8 μ L,ddH $_2$ O 6.4 μ L。反应程序为:94 °C 2 min;94 °C 18 s,56 °C 18 s,72 °C 20

s,40 个循环。

扩增信号经惰性燃料 ROX 校正后,采用 Mx-Pro 软件确定各个孔的循环阈值 (C_t),计算其平均值。以 *FGF5* 基因在各模板中的 C_t 值减去相应 β -actin 的 C_t 值,计算出 *FGF5* 基因的 ΔC_t ,使用 $Power(2, -\Delta C_t)$ 公式计算 *FGF5* 基因 mRNA 在 4 个不同发育时期的相对表达量,结果以“平均值 \pm 标准差”表示,统计分析用 SPSS16.0 软件完成。

2 结果与分析

2.1 总 RNA 的提取与 cDNA 片段的 RT-PCR 扩增

提取的太行黑山羊皮肤组织总 RNA 经 NAN-ODROP 1000 检测,OD $_{260}$ /OD $_{280}$ 值在 1.9~2.1,表明 RNA 纯度较高;经 10 g/L 琼脂糖凝胶电泳检测发现,28 S、18 S 片段条带清晰完整,5 S 条带较淡(图 1)。对提取的总 RNA 进行反转录,以反转录产物为模板进行 PCR 扩增,获得太行黑山羊 *FGF5* 基因 CDs 区全序列,经 10 g/L 琼脂糖凝胶电泳检测,长度约为 800 bp(图 2),与目的基因预期 CDs 区片段长度基本一致。

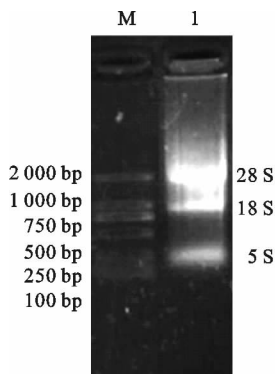


图 1 太行黑山羊皮肤组织总 RNA 的琼脂糖凝胶电泳检测
M. DNA Marker DL2000;1. 总 RNA

Fig. 1 The examination of total RNA in Taihang black goat skin tissue

M. DNA Marker DL2000;1. Total RNA

2.2 *FGF5* 基因核苷酸序列和编码氨基酸序列分析

用 DNA Star 软件的 EditSeq 程序分析表明,太行黑山羊 *FGF5* CDs 区全序列长度为 813 bp,为一个完整的开放阅读框,该基因的 A、C、G、T 4 种碱基数分别为 201,236,210,166,出现频率大小为:C (29.03%) > G (25.83%) > A (24.72%) > T (20.42%);A+T 含量为 45.14%,G+C 含量为

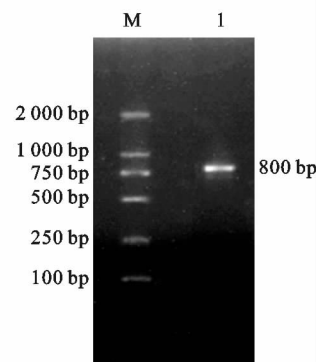


图 2 太行黑山羊 *FGF5* CDs 区的 PCR 扩增
M. DNA Marker DL2000;1. 太行黑山羊 *FGF5* CDs 区

Fig. 2 The product of RT-PCR amplified of *FGF5* CDs region in Taihang black goat

M. DNA Marker DL2000;1. Taihang black goat *FGF5* CDs

54.86%。

太行黑山羊 *FGF5* CDs 区核苷酸编码 270 个氨基酸,其组成与含量分析结果(表 2)显示,丝氨酸(S)最多,为 39 个,含量为 14.44%;色氨酸(W)、半胱氨酸(C)、蛋氨酸(M)和天冬氨酸(D)最少,均为 3 个,含量最低,均为 1.11%。可见,*FGF5* 基因 CDs 区编码的蛋白质中,20 种氨基酸的含量差异很大。

表 2 太行黑山羊 FGF5 蛋白质氨基酸组成

Table 2 Composition of amino acids in FGF5 protein in Taihang black goat

项目 Item	氨基酸 Amino acids									
	Ala(A)	Cys(C)	Asp(D)	Glu(E)	Phe(F)	Gly(G)	His(H)	Ile(I)	Lys(K)	Leu(L)
个数 No	20	3	3	12	15	24	7	8	22	21
百分比/% Percentage	7.41	1.11	1.11	4.44	5.56	8.89	2.59	2.96	8.15	7.78

项目 Item	氨基酸 Amino acids									
	Met(M)	Asn(N)	Pro(P)	Gln(Q)	Arg(R)	Ser(S)	Thr(T)	Val(V)	Trp(W)	Tyr(Y)
个数 No	3	9	20	10	21	39	11	13	3	6
百分比/% Percentage	1.11	3.33	7.41	3.70	7.78	14.44	4.07	4.81	1.11	2.22

2.3 FGF5 CDs 区序列的同源性比对及系统发育分析

在 NCBI 数据库中检索获得牛 (NM_001078011)、马 (XM_001492556)、人 (NM_004464.3)、猩猩 (XM_526572.2) 和小鼠 (NM_010203.4) 等 5 个物种 FGF5 完整的 CDs 区序列, 利用 Bio Edit 软件将太行黑山羊 FGF5 基因 CDs 序列与以上 5 个物种的序列进行同源性比对, 结果表明, 太行黑山羊 FGF5 基因 CDs 区核苷酸序列与牛、马、人、猩猩和小鼠的同源性分别为 98%, 92%, 90%, 90% 和 86%; 其编码氨基酸序列与牛、马、人、

猩猩和小鼠的同源性分别为 98%, 91%, 91%, 91% 和 91% (图 3); 通过比对发现, 在 FGF5 氨基酸 60 位处, 山羊和牛比人、小鼠、猩猩多出 1 个脯氨酸 (P), 马比其多出 1 个丝氨酸 (S); 同时发现 FGF5 氨基酸序列中心区域 (95~212 位) 近 120 个氨基酸残基高度保守, 符合脊椎动物 FGFs 家族的氨基酸序列特点^[8]。

用 DNA Star 软件的 MegAlign 程序, 构建 FGF5 基因氨基酸序列的系统发育树, 结果见图 4。图 4 表明, 太行黑山羊与牛亲缘关系最近, 其次为马、人和猩猩、小鼠。

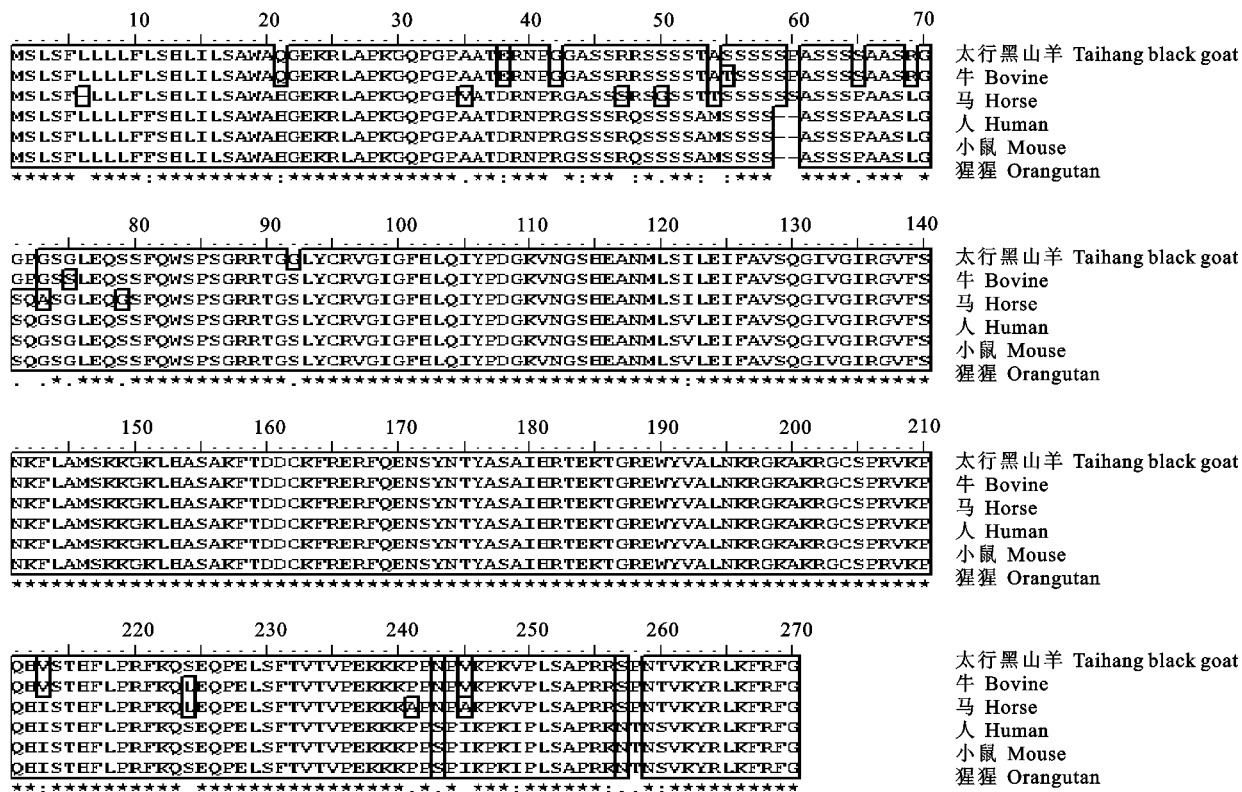


图 3 太行黑山羊与其他 5 个物种间 FGF5 氨基酸序列的比对结果

图中黑框之外和黑框中的方框部分为非同源区域

Fig. 3 Alignment of FGF5 amino acid sequences among Taihang black goat and other 5 species

Out of the black frame is heteroideous region

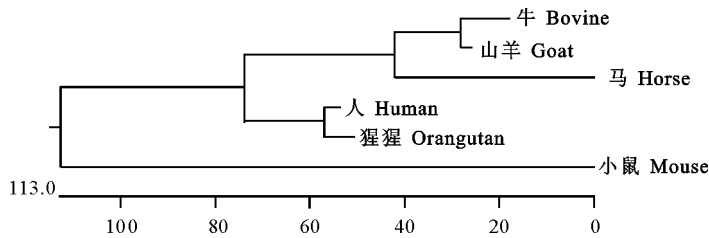


图 4 太行黑山羊与其他哺乳动物 *FGF5* 氨基酸序列的系统发育树

Fig. 4 Phylogenetic tree of *FGF5* amino acid of Taihang black goat and other mammals

2.4 太行黑山羊 *FGF5* 蛋白理化性质分析

用 ExPaSy ProtParam 程序对 *FGF5* 蛋白质理化性质进行预测,发现该蛋白分子质量为 29 540.7 u,理论等电点(pI)为 10.67,带负电荷残基总数(Asp+Glu)为 15,带正电荷残基总数(Arg+Lys)为 43。分子式为 $C_{1312}H_{2081}N_{391}O_{376}S_6$,总原子数为 4 166,半衰期约为 30 h。

利用 SMART(<http://smart.embl-heidelberg.de/>)对蛋白质结构域进行在线预测,结果表明,太行黑山羊 *FGF5* 基因 CDs 区序列编码的蛋白质 87~221 位氨基酸区域为 FGF 结构域。

利用 Signal P 软件中的神经网络法和隐马可夫模型预测显示,*FGF5* 蛋白质 N 端的 1~21 位氨基酸为一经典的信号肽序列,表明该蛋白为分泌性蛋白。

2.5 4 个不同发育时期 *FGF5* 基因 mRNA 的表达量分析

实时荧光定量 PCR 结果见图 5。

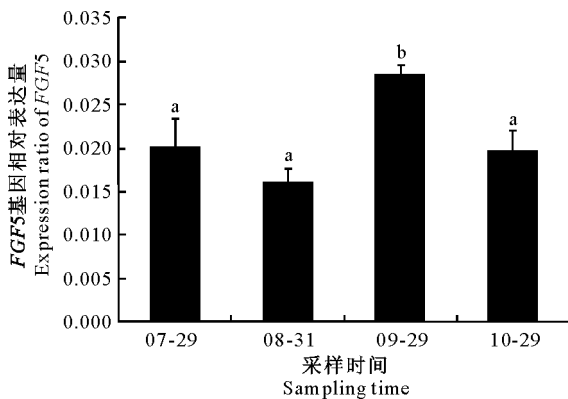


图 5 太行黑山羊皮肤毛囊不同时期 *FGF5* 基因的相对表达量
不同小写字母表示差异显著

Fig. 5 Quantitative expression of *FGF5* of Taihang black goat in different period of follicle development
Different small letters means significant different

图 5 显示,*FGF5* 基因在 7 月底、8 月底、9 月底、10 月底的表达量分别为 $0.019\ 906 \pm 0.003$, $0.015\ 713 \pm 0.001$, $0.028\ 374 \pm 0.001$, $0.019\ 466 \pm$

0.010 。统计结果显示,9 月 *FGF5* 表达量最高,显著高于 7、8 和 10 月 ($P < 0.05$),而 7、8 和 10 月份之间无明显差异 ($P > 0.05$)。表明太行黑山羊毛囊发育在 7、8 月份处于生长期,在 9 月份由生长期向退行期过度,10 月份进入退行期。

3 讨论

本研究采用 RT-PCR 方法,以太行黑山羊皮肤组织为试验材料,克隆了 *FGF5* 基因的 CDs 区序列。高爱琴等^[9]也曾克隆得到山羊 *FGF5* 基因的 CDs 全长序列,但他们是以前山羊脑组织为材料,分别克隆了 *FGF5* 基因的外显子和内含子,然后通过电子拼接的方法将 3 个外显子拼接得到 *FGF5* 基因的 CDs 全长序列,这与本研究直接克隆获得 *FGF5* 基因 CDs 全长序列有所区别。本研究发现,太行黑山羊 *FGF5* 基因 CDs 区全长 813 bp,编码 270 个氨基酸,其中第 87~221 位氨基酸区域为 FGF 结构域。通过核苷酸序列和氨基酸序列同源性分析发现,太行黑山羊 *FGF5* 基因 CDs 区核苷酸序列与牛、马、人、猩猩和小鼠的同源性分别为 98%,92%,90%,90%和 86%;其氨基酸序列与牛、马、人、猩猩和小鼠的同源性分别为 98%,91%,91%,91%和 91%。*FGF5* 基因编码的氨基酸非常保守,特别是 FGF 结构域所在的 87~221 氨基酸区域,仅在第 92 和第 213 个氨基酸处存在差异,其余完全相同。由此推测,这些保守区域对 *FGF5* 基因的结构和功能至关重要。

Foster 等^[10]研究发现,基于氨基酸序列的系统发育树分析比核苷酸序列分析更为可靠,因为碱基序列常有突变、缺失等现象,但这些突变不一定引起氨基酸序列的变化。本试验利用 DNA Star 软件的 MegAlign 程序构建了基于 *FGF5* 蛋白氨基酸序列的系统发育树,结果表明,山羊、牛、马、人、猩猩和小鼠在进化关系上可分为 3 大群:山羊和牛、马形成第 1 群,人和猩猩形成第 2 群,小鼠为第 3 群,山羊和牛的亲缘关系最近,这与核苷酸序列的同源性分析

结果相一致。

在哺乳动物毛囊的周期性生长过程中,生长期毛囊生长,毛发合成;退行期毛囊退化,皮肤变薄;休止期毛囊和皮肤处于休眠状态,然后重新开始下一个生长周期^[2]。已有文献报道,*FGF5* 基因的表达量直接影响毛囊生长期的长短,从而影响被毛长度^[2],Rosenquist 等^[11]在鼠上研究发现,*FGF5* 可诱导毛乳头,促进生长期毛囊向退行期转化。本研究参考李玉荣^[12]关于内蒙古绒山羊毛囊生长周期的划分,分别于 2009 年 7 月底、8 月底、9 月底、10 月底采集太行黑山羊皮肤组织样品,应用 real-time Q-PCR 对 *FGF5* 基因 mRNA 的表达水平进行检测,结果表明,9 月底表达水平显著高于 7 月、8 月、10 月 3 个时期。该检测结果与高爱琴等^[13]应用 RT-PCR 法定性检测到 *FGF5* 基因 mRNA 在绒山羊毛囊生长旺盛期和退行期均有表达的结论相一致。将定量检测结果与 *FGF5* 基因在鼠毛囊周期性生长中的作用相结合,可推测太行黑山羊毛囊在 7、8 月份处于生长期,到了 9 月底,*FGF5* 因子表达量增加,诱导毛囊发育由生长期向退行期转化,10 月进入退行期。有关太行黑山羊绒毛生长周期性变化的机理尚待进一步探明。毛囊生长期的长短决定绒毛长度,绒毛长度影响其产量,因此阐明太行黑山羊绒毛生长周期特点,并在生产实践中加以利用,可在理论和实践上为提高该品种的生产性能提供依据。

[参考文献]

- [1] Ryan A F. The cell cycle and the development and regeneration of hair cells [J]. *Current Topics in Developmental Biology*, 2003,57:449-466.
- [2] Petho Schramm A, Müller H J, Pans R, et al. *FGF5* and the murine hair cycle [J]. *Arch Dermatol Res*, 1996, 288(5/6): 264-266.
- [3] Hebert J M, Rosenquist T, Gotz J, et al. *FGF5* as a regulator of the hair growth cycle; evidence form targeted and spontaneous mutation [J]. *Cell*, 1994, 78(6): 1017-1025.
- [4] Sundberg J P, Rourk M H, Boggess D, et al. Angora mouse mutation; altered hair cycle, follicular dystrophy, phenotypic maintenance of skin grafts, and changes in keratin expression [J]. *Veterinary Pathology (Vet Pathol)*, 1997, 34(3): 171-179.
- [5] Khosla C, Bailey J E. Mol gene [J]. *Genetics*, 1988, 214: 158-161.
- [6] Whelan J A, Russell N B, Whelan M A. A method for the absolute quantification of cDNA using real-time PCR [J]. *J Immunol Methods*, 2003, 278(1/2): 261-269.
- [7] Eileen D W, Gilby K L, Howlett S E, et al. Isolation of total cellular RNA from brain tissue [J]. *Practical Approach Series*, 2001, 10: 1-2.
- [8] Benharroch D. Biology of the fibroblast growth factor gene family [J]. *Isr J Med Sci*, 1990, 26(4): 212-219.
- [9] 高爱琴, 李 宁, 李金泉, 等. 山羊 *FGF5* 基因 cDNA 分子克隆及序列分析 [J]. *内蒙古大学学报*, 2006, 37(2): 180-184. Gao A Q, Li N, Li J Q, et al. The cDNA clone of goat *FGF5* gene and sequence analysis [J]. *Journal of Inner Mongolia University*, 2006, 37(2): 180-184. (in Chinese)
- [10] Foster P G, Hickey D A. Compositional bias may affect both DNA-based and protein-based phylogenetic reconstructions [J]. *Molecular Evolution*, 1999, 48(3): 284-290.
- [11] Rosenquist T A, Martin G R. Fibroblast growth factor signaling in the hair growth cycle; expression of the fibroblast growth factor receptor and ligand genes in the murine hair follicle [J]. *Dev Dyn*, 1996, 205: 379-386.
- [12] 李玉荣. 内蒙古绒山羊不同时期皮肤中相关基因差异表达及原位杂交的研究 [D]. 呼和浩特: 内蒙古农业大学, 2008. Li Y R. Study on difference expressing and in situ hybridization of skin correlational gene in Inner Mongolian cashmere goat at different stage [D]. Hohhot: Inner Mongolia Agricultural University, 2008. (in Chinese)
- [13] 高爱琴, 李 宁, 李金泉, 等. 不同发育阶段绒山羊皮肤中 *FGF5* 基因 mRNA 表达的 RT-PCR 检测 [J]. *华北农学报*, 2008, 23(1): 36-37. Gao A Q, Li N, Li J Q, et al. The *FGF5* gene mRNA expression in cashmere goat skin tissue [J]. *Acta Agriculturae Boreali-Sinica*, 2008, 23(1): 36-37. (in Chinese)